

高分子量线型叠氮缩水甘油醚 聚合物的合成

王平 夏中均 尹莉莎 李常青

(中国工程物理研究院化工材料研究所, 成都 610003)

摘要 介绍了高分子量线型叠氮缩水甘油醚聚合物(HL-GAP)的合成方法。研究了催化剂、抗氧剂、惰气保护等因素对母体高聚物环氧氯丙烷(PECH)叠氮化速度、分子断链及分子量分布的影响。制备的 HL-GAP 分子量(\bar{M}_w)达到 150 021(叠氮化率 99.16%)和 295 561(叠氮化率 69.2%), 大大高于美国专利报道值($\bar{M}_w = 50\,000$, 叠氮化率 49%)。

关键词 叠氮化率 断链 分子量分布 高分子量线型叠氮缩水甘油醚聚合物(HL-GAP)

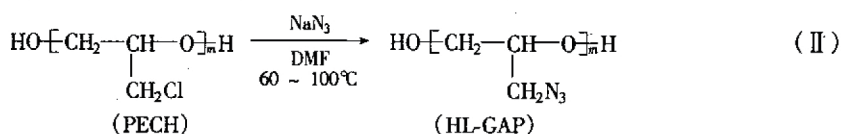
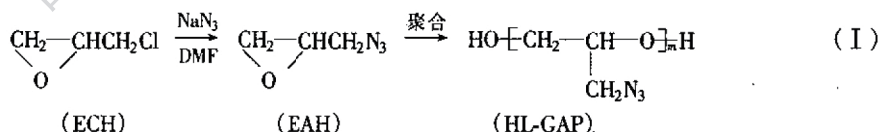
中图法分类号 O632.32

1 引言

美、日等国已将叠氮缩水甘油醚聚合物(GAP)作为未来火箭推进剂、烟火剂和 PBX 的优良含能粘结剂。如果将其用于压装 PBX, 则需要力学性能好的高分子量 GAP(HL-GAP)。我们的研究表明: 分子量为 30 000 左右的 GAP 用于压装 PBX 即可获得外观与成型性能好的炸药柱, 但其力学强度却达不到使用要求。Vandenberg 等人^[1]报道的 HL-GAP 分子量(\bar{M}_w)50 000, 叠氮化率 49%, 也不能满足上述要求。因此, 必须仔细分析合成反应中各种因素的影响, 优化合成条件, 以得到高分子量和高叠氮化率的 HL-GAP, 才能达到 PBX 力学性能优良和能量高的双重目标。

2 HL-GAP 的合成途径

从理论上看, 合成 HL-GAP 有两条路线:



方法(I)为二步法, 即先将环氧氯丙烷(ECH)叠氮化成环氧叠氮丙烷(EAH), 而后再

聚合成 HL-GAP。此法合成工艺很繁杂且成本高, 加之 EAH 中带有爆炸基团 $-N_3$, 聚合反应放热难以控制, 易发生爆炸, 目前尚未见该法合成 HL-GAP 的公开报道。方法(Ⅱ)是将工业氯醚胶(PECH)直接叠氮化成 HL-GAP, 1972 年美国公布了该合成方法^[1], 由于 PECH 在加热叠氮反应过程中极易产生严重的分子断链, 合成高叠氮率、高分子量 GAP 的关键是设法抑制分子断链。我们采用方法(Ⅱ)通过加催化剂、抗氧剂及用惰气保护, 优化合成反应中各种工艺条件, 提高了 HL-GAP 的 \bar{M}_w 及叠氮化率。

3 实验部分

3.1 合成

将 50g PECH(\bar{M}_w 约 8.6×10^5)加入 350ml 经干燥的 N,N-二甲基甲酰胺(DMF)中, 适当浸泡后, 于 100℃下加热溶解。加入催化剂、抗氧剂及叠氮化钠(Na N_3)于 60~100℃下通入 N₂, 密封搅拌, 使反应至物料呈明显淡黄色。冷却后滤出胶液, 加入五倍体积的甲醇中沉淀, 物料澄清后, 倾去 DMF-甲醇液, 沉淀出的 HL-GAP 胶用 60℃蒸馏水搅拌洗涤四至五次, 再用适量热甲醇洗两次, 晾干表层后转入硅胶干燥器中, 真空干燥至胶体由白变黄。

3.2 样品的测试分析

3.2.1 基本结构的确定

本实验通过叠氮取代反应制取 HL-GAP, 反应中主要是 PECH 侧链上的 $-Cl$ 被 $-N_3$ 取代, 通过红外光谱及元素分析可确定其单元结构。

HL-GAP 的红外谱图如图 1 所示, 其特征峰波数 (cm⁻¹) 为 3347 ($-OH$); 2925, 2876 ($-CH_2$, $-CH$); 2098, 1282 ($-N_3$); 1126 (C-O-C)。

HL-GAP 单元结构式为 C₃H₅N₃O。HL-GAP 元素分析如表 1 所示。由表可以看出: 实验样品的元素组成与理论值基本相符。叠氮反应和纯化分离越彻底, 实测值与理论值相差越小。红外光谱及元素分析结果都表明本合成产品为目标化合物。

3.2.2 叠氮化率

HL-GAP 的叠氮化率可通过测试样品中的残氯量(Cl%)求得。

3.2.3 HL-GAP 分子量及分子量分布

HL-GAP 的分子量及分子量分布用凝胶色谱(GPC)测定。

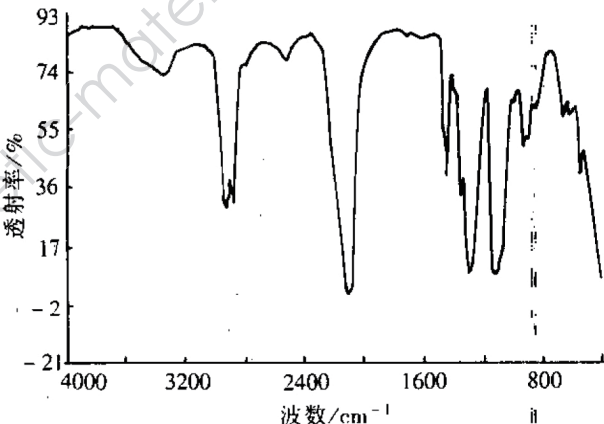


图 1 HL-GAP 的红外光谱

Fig. 1 IR spectrum of HL-GAP

表 1 HL-GAP 的元素组成

Table 1 Elemental composition of HL-GAP %

元素	C	H	N	O
理论值	36	5	42	16
实测值	35.96	5.18	41.98	16.19

3.2.4 热性质

HL-GAP 的 DSC 分析结果：放热起点为 228.1℃，放热峰值为 254.2℃，分解放热为 $-2400 \text{ J} \cdot \text{g}^{-1}$ 。可以看出：HL-GAP 在 200℃ 前几乎不分解，具有很好的热安定性，样品分解放热值受叠氮化率影响并与其成正比。

4 讨论

从下面的数据可以看出，由于受热时，受空气中的氧及一些副反应中生成的有害化学物质的影响，PECH 在叠氮化过程中会发生断链。研究各种因素对叠氮反应与分子断链的影响是制备高叠氮率、高分子量 GAP 的关键。

4.1 PECH 的叠氮反应与热降解

用 PECH 和 NaN_3 加热反应制取 HL-GAP 过程中始终存在着 PECH 叠氮反应与断链。一方面， $-\text{N}_3$ 取代 PECH 侧链中 $-\text{Cl}$ 的反应需要加热活化，温度高、时间长，可使叠氮反应进行得彻底；而另一方面，因 PECH 主链上含有极性原子组成的 $\text{C}-\text{O}-\text{C}$ 键，加热时易受空气中氧及反应产生的活性物质影响而断链，加之主链又带有侧链（ $-\text{CH}_2\text{Cl}$ ），使主链上弱键断裂的分解热较低，因而易发生热降解^[2]。本实验所用 PECH 的 M_w 为 868 182，加热溶解后降低到 465 917，再经叠氮反应，最后的 M_w 仅有 30 000 左右。因此，要合成高叠氮率、高分子量 GAP 就必须加快叠氮化速度，缩短反应受热时间，并设法抑制 PECH 断链。

4.1.1 催化剂的作用

实验选用 LiCl 作为催化剂，以提高叠氮反应速度，实验结果列于表 2。可以看出，叠氮化率均达 99% 以上，不加催化剂，100℃ 下反应时间长达 10h，而加入催化剂，仅需 2~3h。这是由于 LiCl 与 NaN_3 的置换反应生成的 LiN_3 比 NaN_3 更易溶于 DMF 中。增加了反应介质中的 $-\text{N}_3$ 浓度，从而提高了叠氮反应速度。

4.1.2 抗氧剂的作用

为了抑制 PECH 断链，文献[1]加入了 1,1,3-三(2-甲基-4-羟基-5-叔丁基苯基)丁烷(CA)抗氧剂，得到的 HL-GAP M_w 为 50 000，叠氮化率 49%。我们加入了催化剂，并将原反应介质二甲基亚砜(DMSO)改为 DMF，调整了 NaN_3/PECH 物料比，并试用了不同抗氧剂，实验结果列于表 3。由表可看出，无抗氧剂存在，HL-GAP 的 M_w 仅 30 633，而在同等条件下加入 CA、Ky 抗氧剂后，分子量均达到 56 066 以上，叠氮化率大于 99.00%，当使用 CA + B 组成的复合抗氧剂，在优化反应温度后，产物的分子量高达 150 021(叠氮化率 99.16%)和 295 561(叠氮化率 69.20%)，远远超过文献值。这是由于加入的抗氧剂较好地抑制了氧化产生的游离基，而辅助抗氧剂 B 则能分解反应产生的某些过氧化物，从而减少了分子断链。

4.1.3 氮气保护

在抗氧剂存在下，向反应物料内(反应温度为 65℃)通入惰性气体 N_2 ，考察氮气流对

表 2 LiCl 对叠氮反应速度的影响

Table 2 Effect of LiCl on azidation speed

催化剂	反应时间/h	叠氮化率/%
无	10	99.70
LiCl	3	99.77
LiCl	2	99.00

注：反应温度为 100℃， NaN_3 与 PECH 的摩尔比为 3:1。

\bar{M}_w 、 \bar{M}_n 及分子量分布的影响, 实验结果如表 4 所示。可以看出, 随着通 N_2 时间延长, HL-GAP 分子量分布逐渐变窄。这是由于 N_2 驱除了反应物料中的空气, 减轻了 PECH 分子的氧化断链, 而分子受热引起的降解却一直存在, 由于长链分子中含 C-O-C 键数目比短链分子多, 发生降解的机率也高, 长分子链继续断裂使得分子量分布变窄。

4.2 影响 HL-GAP 叠氮化率及分子量的其它因素

在合成反应中, 物料比、时间、温度乃至溶胶程度都直接影响着 HL-GAP 叠氮化率和分子量及其分布, 控制好这些条件, 对于制取符合技术指标的 HL-GAP 非常重要。

4.2.1 物料比 (NaN_3 /PECH)

为了考察物料比对 HL-GAP 的叠氮化速度及分子量的影响, 我们设计了 $LiCl$ 催化下的两种 NaN_3 /PECH 物料比的实验, 结果列于表 5。显然, 在相同的反应时间和温度下, NaN_3 /PECH 料比高时的叠氮化速度快, 但分子量却偏低。由此可见, 多加 NaN_3 虽然有利于提高反应速度, 但在 NaN_3 形成的碱性条件下长时间加热会使 DMF 分解产生甲酸等活性物质引起 PECH 断链^[3], 过多的 NaN_3 必然会加剧这一趋势。

4.2.2 反应温度和时间

为了制备高叠氮化率的 HL-GAP, 设计了不同反应温度和时间的实验, 结果如表 6 所示。很明显, 即使短时间高温反应也比长时间低温反应速度快, 但分子量却偏低, 而适中的反应温度 (70℃) 和反应时间 (9h), 可获得分子量及叠氮化率都很高的 HL-GAP。

表 3 抗氧剂对分子量的影响

Table 3 Effect of antioxydant on \bar{M}_w of HL-GAP

抗氧剂	反应温度/℃	反应时间/h	\bar{M}_w	叠氮化率/%
无	80	8.5	30633	99.36
CA	80	8.5	56066	99.32
Ky	80	8.5	57033	99.26
CA + B	70	8.5	150021	99.16
CA + B	60	9.0	295561	69.20
CA ¹⁾	65	5.5	50000	49.00

注: 1) 为文献[1]的数据。

表 4 通 N_2 时间对分子量分布的影响

Table 4 Effect of N_2 -flow on \bar{M}_w and \bar{M}_n of HL-GAP

通氮时间/h	\bar{M}_w	\bar{M}_n	分子量分布
0	465817	76204	6.11
10	97199	48016	2.02
11	91198	47692	1.91
12	83706	47636	1.75

表 5 物料比对分子量和叠氮化率的影响

Table 5 Effect of reactant ratio on \bar{M}_w and azidation rate

NaN_3 /PECH	反应时间/h	\bar{M}_w	叠氮化率/%
3:1	1	70855	93.57
2:1	1	77687	84.00
3:1	2	57637	99.36
2:1	2	59732	99.00

注: 反应温度为 100℃。

表 6 反应温度和反应时间对分子量与叠氮化率的影响

Table 6 Effect of reaction temperature and time on \bar{M}_w and azidation rate

反应温度/℃	反应时间/h	\bar{M}_w	叠氮化率/%
60	14	184220	74.77
70	9	147909	99.69
80	5	66260	96.88
100	2	57632	99.16

注: NaN_3 与 PECH 的摩尔比为 3:1。

5 结 论

- 5.1 用 PECH 制备 HL-GAP 过程中的叠氮化反应始终伴随着分子断链。
- 5.2 抗氧剂与通 N₂ 时间能有效地控制分子断链,且 N₂ 流使分子量分布变窄。
- 5.3 反应温度高、时间长,有利于提高叠氮化率,但使分子断链更严重。
- 5.4 LiCl 作催化剂能显著提高 PECH 叠氮反应速度。
- 5.5 在一定的物料比范围内,NaN₃/PECH 料比高,叠氮反应快,但增加分子断裂,料比低则相反。
- 5.6 经加入 CA + B 抗氧化剂,优化合成条件后获得的 HL-GAP 的 \bar{M}_w 达到 150 021(叠氮化率 99.16%) 和 295 561(叠氮化率 69.20%),超过了文献值。

致谢:浦钧鹏、余堃、姬广富、陈曙东、周建华、陈松林、王晓川等同志对本研究工作的分析测试给予了热情帮助,在此谨致谢意。

参 考 文 献

- 1 Vandenberg E J, et al. Polyethers Containing Azidomethyl Side Chains. USP 3 645 917, 1972.
- 2 薛志序. 高分子化学及工艺学. 北京: 化学工业出版社, 1980.
- 3 Earl R A. USP 4 486 351, 1984.

SYNTHESIS OF HIGH MOLECULAR WEIGHT GLYCIDYL AZIDE POLYMER

Wang Ping Xia Zhongjun Yin Lisa Li Changqing

(Institute of Chemical Materials, CAEP, Chengdu 610003)

ABSTRACT The synthesis method of high molecular weight glycidyl azide polymer (HL-GAP) is described. The experimental results indicate that the azidation of the precursor, polyepichlorohydrin (PECH), is always accompanied with its chain-breaking. In order to prepare high molecular weight and high azidized product, the influence of catalyst, antioxydant, inert gas protection and other factors on the HL-GAP molecular weight (\bar{M}_w) and its distribution were experimentally investigated. After optimization of the above said factors, the \bar{M}_w of HL-GAP was increased to 1.5×10^5 and 2.95×10^5 with azidation rate (R_a) of 99.16% and 69.20%, respectively, much higher than Vandenberg's report in USP 3 645 917 ($\bar{M}_w = 5 \times 10^4$, $R_a = 49\%$).

KEYWORDS azidation rate, chain-breaking, high molecular weight glycidyl azide polymer (HL-GAP), molecular weight distribution.